

# 信息空间的结构模型和数学基础

许建峰<sup>1\*</sup>, 刘振宇<sup>2</sup>, 王树良<sup>3</sup>, 郑涛<sup>3</sup>, 王赢飞<sup>1</sup>, 王雅实<sup>2</sup>, 乔永杰<sup>4</sup>

<sup>1</sup> 人民法院信息技术服务中心

<sup>2</sup> 中国政法大学

<sup>3</sup> 北京理工大学

<sup>4</sup> 中国电子科学研究院

\*通信作者. E-mail: xjfcetc@163.com

---

## Abstract

In today's era, there is no doubt about the importance of information. However, people still have different opinions on information, and the research on information measurement is also inconclusive. Based on the researches of predecessors, this paper summarizes the important progress and main shortcomings in understanding and measurement of information, discusses the basic problems such as the essential connotation of objectivity of information, puts forward the mathematical model of information and the basic properties of information, and deduces and establishes the universality, delicacy, persistence, richness, inclusiveness, delay, etc. The structural model and mathematical basic theoretical framework of information space are formed. The motion law of information flow in information space is systematically and comprehensively analyzed, and the information dynamics for complex information system is preliminarily discussed.

## Key Words

Information Space, Structural Model, Information Measurement, Information Dynamics

---

## 1 引言

计算机和通信技术的迅速发展使人类进入信息化时代,无处不在的信息系统使人类的生产生活方式发生了巨大变革。但是,人们对于信息的认识依然众说纷纭,对于信息度量的研究同样莫衷一是。究其本质,不在于人们没有倾注大量的兴趣和精力,而在于众多研究者对信息研究的对象、目的和方法缺乏提纲携领和一以贯之的共识。首先,关于信息研究的目的,很多研究满足于学术意义上的探索和推演,很大程度上忽视了客观世界中已经或即将深刻改变人类生产生活方式的众多信息系统,忽视了信息研究对信息系统研究、设计和开发的实际指导作用;其次,关于信息研究的方法,很多研究局限于继承 Shannon 针对通信系统而运用的传统概率统计方法,忽视了运用更为广泛的数学理论全面系统地建立信息科学理论基础的可行途径。

建立信息的基本理论体系，必须以信息的本质内涵为源，从数学模型着手，形成完整的度量体系和一致的表达方式。定义信息可能是一个十分艰难的哲学问题。事实上，关于信息究竟属于客观还是主观范畴就一直是学界争议的焦点。一种具有代表性的观点是“信息表现为客观事物的一种状态和人们主观上对这种状态的定义规则”，力求澄清信息在客观和主观两个范畴的交互关系及其本质规律，目前已有众多研究成果，但仍面临客观与主观问题相互融合而带来的不少疑难之处。本文无意统一所有歧见，仅仅着眼于化繁为简，对信息的客观和主观属性进行一定程度的解耦，并结合信息系统的运作要求，立足于客观范畴提出信息的定义、数学表达和基本性质。

鉴于此，本文分析并借鉴了前人的丰富研究成果，基于客观信息论的基本框架，提出了信息空间的结构模型和数学表示。具体包括：

一是通过体系化梳理信息技术发展脉络，从信息空间的结构模型，也适应信息系统能够且只能处理客观实在信息的运作要求；

二是提出了信息空间的数学模型，为其后的各项研究提供了统一明晰和便利可行的数学理论基点；

三是基于六元组模型和映射的数学理论，阐述证明了信息的客观性、还原性、传递性、关联性和组合性等基本性质，进一步体现了信息及其模型定义的合理性；

四是系统全面地建立了信息空间的 10 类度量体系，并从信息基本模型出发定义了各项度量的数学表达，初步探讨了各项度量的基本性质，为定量研究分析信息运转和信息系统应用提供了理论和方法基础。

## 2 信息科技发展回顾

信息网络、大数据、云计算、人工智能等信息技术的交汇融合，使得信息技术及其应用无处不在，以数据的深度挖掘与融合应用为主要特征的智能化阶段正在开启。在“万物数字化”新世界图景中，信息空间和物理世界的融合，形成新的人机物融合计算环境，催生了智慧司法、智慧城市、智能制造等人机物融合应用。

### 2.1 网络通信技术

网络技术起源于香农信息理论的建立，以及人类试图将计算机连接组成网络的不断努力。网络技术的理论基础由克劳德·香农（Claude Shannon）在 20 世纪 40 年代阐述的信息理论奠定，至今仍对网络基础研究和系统开发发挥着巨大的理论指导作用。香农信息论在 Harry Nyquist 和 Ralph Hartley 在 20 世纪 20 年代的有关工作基础上发展起来的，阐述了电信技术中存在噪声时信噪比、带宽和无差错传输之间的权衡关系。此外，晶体管技术（特别是 MOS 晶体管）和激光技术的突破，使得带宽网络计算在近半个世纪的快速增长成为可能。域名解析系统、TCP/IP 协议栈在国际上广泛采用，将世界各地的计算机网络不断融合联通，最终形成了全球互联网。

#### （1）早期网络技术

最早的网络雏形源于 20 世纪 40 年代早期的大型计算机体系结构。大型计算机有中央主机和用户终端，两者通过线路直接相连进行点对点通信。这一时期网络技术主要用于解决计算机用户之间的分时问题。然而，点对点通信模型的能力是有限的，因为它不允许任何两个任意系统之间的直接通信。同时，点对点通信在战略和军事上很脆弱，单条链路中断会导致网络整体瘫痪。

将不同的物理网络连接成一个逻辑网络是网络技术中需要首先突破的第一个问题。早期的网络使用消息交换模型，这种模型要求刚性的路由结构，因此容易出现单点故障。随着电子和通信技术在 20 世纪 50 年代的发展，大型机计算机体系所必需的更长距离（用于终端）或更高速度（用于本地设备互连）的通信逐渐实现。在 20 世纪 60 年代早期，Paul Baran 在研究核战争中美军网络如何生存问题时，提出了基于消息块数据的分布式网络构想[30、31]。与此同时，英国国家物理实验室的 Donald Davies 提出了分组交换技术，分组交换是一种快速存储转发网络设计，它将消息分为任意分组，并对每个分组进行路由决策。与用于电话的传统电路交换技术相比，它提供了更好的带宽利用率和响应时间，特别是在资源有限的互连链路上。

在这一时期，美国、英国均开展了网络研究和实验性组网项目，这些实验网络不断演化融合，最终形成全球规模互连网络。1969 年，美国国防部高级研究计划局（ARPA）启动 ARPANET 项目，该项目采用了 Davies 和 Baran 提出的分组交换技术建成了 ARPANET 网络。1978 年，Donald Davies 领导研究团队采用分组交换技术并提出了“网络协议”概念，建成了可实际运行的 NPL 局域网（Mark I），实现不同地域实验室计算机实现互联，1973 年 NPL 网络演进到 Mark II 时，发展成为层级化的网络协议体系。ARPANET 网络和 NPL 网络是最早的可运行的分组交换网络，验证了这项技术在实际工作条件下的可行性。此外，美国密歇根州教育研究信息研究会的 Merit 网络项目、法国各研究机构间组成的 CYCLADES 网络、英国各学术机构间组成的 SERCnet 网络项目（后来成为 JANET 网络）、基于 Usenet 的美国杜克大学 UUCPnet 项目等所形成的广泛研究合力，逐渐推动产生了以太网技术、ITU-T X.25 标准体系及虚拟电话线路技术、国际分组交换服务、TCP/IP 协议栈等组网关键技术、为最终形成全球互联网提供了充分的技术准备。

## （2）互联网技术

“互联网”一词源于 1974 年发布的 TCP 协议第一版征求意见稿（RFC 675：互联网传输控制程序）中。一般来说，互联网是由一个共同协议连接的网络集合。在 20 世纪 80 年代末，美国国家科学基金会（NSF）资助的国家超级计算中心之间开展网络互联，建设成 NSFNET 网络。1981 年 ARPANET 与 NSFNET 网络组网连接。1984 年至 1988 年，欧洲核子研究所开始组建基于 TCP/IP 协议的 CERNET 网络，1988 年之后，泛欧洲的 CERNET 网络开始接入美国的 NSFNET 网络。1991 年英国的 JANET、欧洲的 EARN 网络、RARE 网络、EBONE 网络陆续采用 TCP/IP 协议架构，并与美国的 NSFNET 网络实现连接。进入 90 年代后，亚洲、非洲、南美洲等国家开始组建 TCP/IP 网络，并与美国和欧洲的网络连接。随着越来越广泛的国家和机构与美国 NSFNET 网络联通，“互联网”被用于特指基于 TCP/IP 协议栈的全球通信网络。

互联网的一项关键技术是光纤通信。全球规模的网络连接带来了传统的无线电、卫星和模拟铜制线缆所无法满足的超大容量数据传输挑战。1995年，美国贝尔实验室开发出基于激光和光放大器技术驱动的波分复用（WDM）技术，并部署了4通道的WDM系统。此后，光纤通信网络逐渐成为远距离通信的重要基础设施。

万维网（缩写为“www”或“Web”）是基于互联网的信息空间。在其中，文档和其他Web资源由URI标识，通过超文本链接链接，并可通过使用Web浏览器和基于Web的应用程序进行访问。直至现在，万维网是全球数十亿人在互联网上进行互动的主要工具，它极大地改变了人们的工作和生活方式。从2005年至2010年短短的五年内，Web2.0推动互联网发展成为一个社会系统的变革力量。“Web2.0”描述了强调用户生成内容（包括用户对用户的交互）、可用性和互操作性。Web2.0不是指任何技术规范的更新，而是描述了一种方法，侧重于允许用户作为虚拟社区中用户生成内容的创建者，在社交媒体对话中相互交互和协作，而在Web1.0的网站中，人们仅限于被动查看内容。典型的Web2.0的应用包括社交网络服务、博客、Wiki、大众分类、视频共享网站、托管服务、Web应用程序等。今天，很多视频网站、微博服务、社交网络和百科服务等互联网头部企业都是通过面向社区运营而获得巨大的商业成功。

### （3）移动网络技术

在Web 2.0演进的同时，移动通信技术发生了巨大的革命，意味着智能手机作为一种重要的计算平台可为人随身携带和使用，计算机的概念已经不仅仅固定环境。第一代移动网络技术（1G）是自动模拟蜂窝系统，于1979年在日本首次用于车载电话的NTT系统，以及后来在北欧国家发布的NMT系统，和在北美广泛部署AMPS系统。1G移动网络使用频分多址（FDMA）技术方案，需要大量无线频谱的支持，并且安全性很差。

20世纪90年代，移动通信技术开始实现数字化，进入到第二代移动网络时代（2G）。这一时期，欧洲开发的GSM标准和美国开发的CDMA标准两种系统在全球市场上争夺霸权。与上一代不同的是，2G使用数字传输代替模拟传输，并且还提供了快速的带外（out-of-band）联网信号。2G时代见证了短信、彩信、移动付费等业务的出现。1999年，日本NTT DoCoMo手机运营商在全球第一次推出了移动电话全互联网服务。

在越来越丰富的移动互联网应用的推动下，人们对数据的需求快速增加，使得2G技术无法满足对更高数据速度的需求。移动网络技术开始使用分组交换而不是电路交换进行数据传输，移动网络进入3G技术时代。在3G时代，出现了许多相互竞争的技术标准，包括EV-DO、CDMA2000、WCDMA、TD-SCDMA、GPRS、EDGE、HSDPA、HSPA、UMTS。不同的竞争者在推动各自的技术，不可避免地，在3G时代始终没有形成统一的全球标准。3G技术的高速无线连接使得将广播（甚至电视）内容以流媒体形式传输到3G手机成为可能，促使新闻、文娱等相关行业的发生深刻转型。

随着移动网络中流媒体等带宽高速增长，到2009年，3G网络已经开始无法满足密集型应用需求。因此，业界开始寻求数据优化的第四代技术（4G），其主要技术目标是将速度提高到现有3G技术的10倍。4G移动网络的主要技术是WiMAX标准和LTE标准。4G在技术上与3G一个主要不同是它不再使

用电路交换方案，而采用了全 IP 网络方案。因此，4G 网络能够像在 Internet、LAN 或 WAN 网络上一样，通过 VoIP 方式传输流媒体数据。

5G 是移动网络技术的下一代版本，目前已经进入商用。5G 标准包括毫米波段无线电频谱，允许数据速度高达每秒 1 千兆位，并将手机和网络之间的延迟（处理数据传输的处理时间）减少到几毫秒。5G 的强大性能（高达 10Gb/s）为依赖大量数据实时传输的众多应用打开了大门（AR/VR、云游戏、互联车辆）。但元宇宙将使得实时多媒体应用呈指数级增长，需要大量带宽来实时传输非常高分辨率的内容，同时对网络延迟的要求非常高，许多交互式应用将运动视为光子延迟，即用户动作和屏幕上响应之间的延迟。因此，当前的 5G 几乎无法满足元宇宙的透视增强现实或虚拟现实等多媒体应用的延迟要求。

#### （4）物联网技术

随着射频识别（RFID）技术、传感器技术、嵌入式系统、无线网络等技术的不断成熟与融合，在 1999 年 Kevin Ashton 首次提出“物联网”（Internet of things，或 IoT）概念。随后，这一概念随着技术的演进而不断丰富完善。人们普遍公认的物联网是指通过各种生产和生活中各类必需品中嵌入短程移动收发装置，实现人与物之间以及物与物之间的新型通信。当前，物联网已经成为与互联网一样的全球性网络基础设施，其主要技术特征包括标准化的互操作通信协议、设备的自我配置能力、唯一标识机制、集成接口等。

物联网技术的广泛应用通常涉及消费、商业、工业和基础设施等领域。其中，用于消费者的物联网设备包括智能家居、可穿戴技术等；物联网的主要商业应用包括车联网（包括车与车、人与车、车与路互联）、智慧交通、智慧医疗（健康）、智能楼宇等；物联网的主要产业应用包括设备资产登记、智能工厂、智慧农业、智慧海洋产业等；物联网基础设施方面的主要应用包括智慧城市、能源管理、环境监控等。此外，物联网技术在军事领域也得到广泛应用，例如侦察、监视和其他作战相关目标。传感器技术将对未来城市战争产生极大的影响，涉及传感器、弹药、车辆、机器人、人类可穿戴生物识别技术以及其他与战场相关的智能技术的使用。

根据有关文献，到 2025 年时，全球物联网设备数量将从 138 亿跃升至 309 亿。智能物联网设备在我们日常环境中的普及时使用能够改善我们的生活质量。然而，小型物联网设备通常不具备人机界面，无法实现用户交互。扩展现实技术下的数字实体可以补偿传统传感器缺失的交互能力。因此，互动方式的多样性也将进一步扩大。通过物联网与扩展现实进行集成，可将真实环境与沉浸式增强现实内容结合起来，产生令人震撼的多模交互用户体验。在 5G 时代，自动驾驶有可能成为我们日常通勤中最流行的场景。由于如今的车辆配备了强大的计算能力和先进的传感器，使用 5G 或更先进网络连接的车辆可以超越车辆之间的连接，最终连接到元宇宙。基于扩展现实技术由于具有显著的可视化内容特征，因此为机器人和虚拟环境之间开放通信提供了解决方案。此外，在诸如场景分析、安全分析等任务中集成了虚拟环境，使人类用户能够理解机器人操作，从而建立起对机器人建立信任和信心，它将导致人类与机器人协作范式发生转变。在元宇宙中，机器人将作为现实世界中的人的数字替身的物理容器，元宇宙中的虚拟环境也可改变人类对协作机器人的感知。在未来，数字孪生技术和元宇宙将是新机器人设计的虚拟试验场。

## (5) 数联网技术

互联网解决了机器之间的数据传输问题，为数据互联互通提供了基本的技术手段。但是，互联网无法避免和解决信息技术及其应用的不断发展带来的信息孤岛、数据失控、数据确权等诸多难题。为了在互联网数据传输的基础上实现数据的互联互通，应用系统之间需自行协调，在数据语法、语义、语用等层面达成一致，并面临着协调成本高、责权效难保障，以及低效、易错、难复盘等挑战。针对现有平台化数据互联互通的问题，我国科研人员借鉴互联网的设计理念，采用软件定义的思路[19]，通过以数据为中心的开放式软件体系结构和标准化互操作协议，将各种异构数据平台和系统连接起来，从而在“物理/机器”互联网之上形成一个“虚拟/数据”网络，可称之为“数据互联网”（Internet of Data），简称“数联网”，进而实现全网一体化的数据互联互通和智能应用。

数联网的核心是数字对象架构（Digital Object Architecture, DOA），由罗伯特·卡恩于 21 世纪初正式提出。DOA 的概念架构包括一个基本模型、两个基础协议和三个核心系统。一个基本模型是指数字对象，用于抽象互联网中的数据，使得异构数据资源可以采用统一的形式进行建模和描述。从技术角度来看，数字对象是一个比特序列或者是一系列比特序列的集合，包含一些对于某个人或组织有价值的信息。每个数字对象都必须被分配一个全局唯一的标识。标识作为数字对象的核心属性，不以数字对象的所有者、存储位置、访问方式的改变而改变。两个基础协议是指数字对象接口协议（Digital Object Interface Protocol, DOIP）和数字对象标识解析协议（Digital Object Identifier Resolution Protocol, DO-IRP），前者用于与数字对象或管理数字对象的信息系统进行交互，后者用于创建、更新、删除和解析全局管理和分配的数字对象标识。三个核心系统分别是数字对象仓库系统（the repository system）、数字对象注册系统（the registry system）和数字对象标识系统（the identifier/ resolution system）。数字对象仓库系统主要负责数字对象的实体封装、存储、访问和销毁，数字对象注册系统主要负责数字对象的元数据注册、发布、修改和删除，数字对象标识系统主要负责数字对象的标识创建、解析、修改和销毁。DOA 通过数字对象统一规范互联网的数据资源，采用 DOIP 和 DO-IRP 两个协议规范数据交互行为，基于三个核心系统所形成的开放式软件体系结构，实现异构、异地、异主数据的互联互通[20]。

DOA 已在数字图书馆领域取得了全球性的规模化应用，即 DOI 系统。截至 2021 年 5 月，DOI 系统在全球已注册了约 2.57 亿数字对象，覆盖了 IEEE、ACM、Springer 等众多国际知名学术数据库。中国于 2018 年开始建设全球最大规模的 DOA 应用系统——国家工业互联网标识解析系统。截至 2021 年 8 月，已建成北京、上海、广州、重庆和武汉等 5 个国家顶级节点以及 200 多个二级节点，接入 25 个省市自治区的 2 万多家企业，标志着中国在数联网领域的应用探索与实践走在了世界前列。

## 2.2 大数据技术

大数据与物联网能够协同工作。从物联网设备采集的数据提供了物理设备间连接的映射，这种映射可以用来更准确地定位受众并提高媒体效率。由于物联网越来越多地被用作传输传感器数据，汇聚的海量传感数据可用于医疗、制造和运输环境。

### (1) 大规模数据存储与管理技术

1960 年代中期，随着直接存取存储器（磁盘和磁鼓）的出现，计算机领域出现了数据库技术。与早先的基于磁带的批处理系统相比，数据库允许数据的共享和交互使用。随着计算机速度和能力的提高，1966 年左右开始出现通用的数据库管理系统。早期的数据库技术主要采用两种数据模型：层次模型和网络模型（CODASYL 模型）。它们的特点是使用指针（通常是物理磁盘地址）来跟踪从一个记录到另一个记录的关系。

为解决早期数据库模型难以支持高效检索的问题，1970 年 Edgar F. Codd 首次提出了关系模型。基于关系模型，数据库可基于具有明确语义的结构化查询语言（Structured Query Language, SQL）实现数据的高效访问。但直到 20 世纪 80 年代中期，计算硬件才足够强大到广泛部署关系型数据库系统。直到 2018 年，关系系统在所有大型数据处理应用程序中仍占据主导地位。在商用市场上，IBM DB2、Oracle、MySQL 和 Microsoft SQL Server 是使用最为广泛的数据库管理系统。

20 世纪 90 年代，随着面向对象编程的兴起，程序员和设计师开始将数据库中的数据视为对象，这种看待数据的视角允许数据之间的关系是对象及其属性的关系，而不是单个字段的关系。为解决编程对象和关系型数据库表之间进行转换困难的问题，在数据库端，可通过一种面向对象的语言（作为 SQL 的扩展）来替代传统的 SQL 语句解决。在编程端，亦可通过对象关系映射（ORM）调用库解决此问题。

在大数据时代，数据体量大、数据源异构多样、数据实效性高等特征使传统的关系型数据库技术面临难以分布式部署的瓶颈问题。2000 之后，开始出现非关系型的 NoSQL 数据库。与传统的关系型数据库相比，NoSQL 数据库可以基于分布式文件系统（如 HDFS）部署，因此处理大数据的速度更快[8]。NoSQL 数据库包括键值存储和面向文档等多种细分类型[9]。由于 NoSQL 数据库不需要固定的表模式，因此可实现数据库设计的水平向扩展。当前，与 NoSQL 数据库竞争的下一代数据库技术是 NewSQL 数据库。NewSQL 数据库的特点是在保留了关系模型的同时（因此可以复用 SQL 技术），可为在线事务处理（OLTP）工作负载提供 NoSQL 系统的可伸缩性，从而在实现匹配 NoSQL 的高处理性能的同时，提供传统数据库系统的原子性(atomicity)、一致性(consistency)、隔离性(isolation)、耐久性(durability) 保证。

## （2）高通量计算技术

大数据量大、异构、实效等特征同时也催生高通量计算技术。面对迅速而庞大的数据量，为因应传统的集中式计算架构面临难以逾越的计算瓶颈，出现了针对规模并行化处理（Massively Parallel Processing, MPP）的分布式计算架构。

针对海量非结构化文本数据，出现了基于分布式批处理计算框架的 Apache Hadoop 和 Spark 生态体系，其主要目标是避免传统技术处理和分析大数据时遇到的低性能和复杂性问题。Hadoop 能够快速处理大型数据集在于其并行集群和分布式文件系统。与传统技术不同，Hadoop 只在内存中载入本地存储的数据执行计算，而无需在内存中载入全部的远程数据集。因此，Hadoop 有效减轻了网络和服务器的通信负载[7]。Hadoop 平台的强大基于两个主要的组件：分布式文件系统（HDFS）和 MapReduce 框架。此外，在 Hadoop 之上可添加增强容量、性能、可靠性、可扩展性、安全性等模块，构成丰富的生态系统。针对 MapReduce 集群计算模式的局限性，Apache 基金会于 2012 开发了基于弹性分布式数据集

(RDD) 的 Spark 体系。Spark 有助于实现迭代算法（在循环中多次访问其数据集）和交互式/探索性数据分析（即重复的数据库式数据查询）。与 Apache Hadoop MapReduce 实现相比，Spark 程序的延迟可以减少几个数量级。

针对时效性数据需要实时计算反馈的需求，出现了机遇分布式流处理计算框架的 Apache Storm、Flink 和 Spark Streaming 等生态体系。Apache Storm 是一种分布式数据实时处理框架，它通过各类信息接收和处理基元构成有向无环图（DAG）形式的拓扑结构，使得数据实现从一个处理节点定向流转到另一个处理节点的流水线式信息处理。与 MapReduce 相比，Apache Storm 的主要区别在于它对数据的处理是实时的，而不是单独成批处理的[6]。Apache Flink 提供了一个高吞吐量、低延迟的流媒体引擎[10]，以数据并行和流水线的方式执行任意数据流程序，因此具备支持批量/批处理和流处理程序的执行能力。此外，Flink 的运行时（runtime）支持本地执行等迭代算法，以及事件时间处理和状态管理[11]。Spark Streaming 使用 Spark Core 的快速调度功能来执行流分析。它以小批量接收数据，并对这些小批量数据执行 RDD 转换。这种设计使为批量分析编写的同一组应用程序代码能够用于流式分析，从而简化 lambda 架构的实现[12]。Storm 和 Flink 对流式数据的处理是以事件而非小批量形式进行的，Spark Streaming 的小批量流式数据处理方式在带来便利性的同时也会导致延迟较大的问题[13]。

### （3）数据安全与隐私保护技术

除了对数据进行分析挖掘之外，数据的共享及流通是另一个实现数据价值释放的方向。无论是直接对外提供数据查询服务还是与外部数据进行融合分析，都是实现数据价值的重要方式。在数据安全时间频发的当下，如何在不同组织间进行安全可控的数据流通始终缺乏有效的技术保障。同时，随着相关法律法规的逐步完善，数据流通面临更加严格的规范限制，合规问题对多个组织间的数据流通产生制约。

基于隐私计算的数据流通技术成为实现数据联合计算的主要思路。在数据合规流通需求旺盛的环境下，隐私计算技术发展火热。作为旨在保护数据本身不对外泄漏的前提下实现数据融合的一类信息技术，隐私计算为实现安全合规的数据流通带来了可能。当前，隐私计算技术主要分为多方安全计算和可信硬件两大流派。其中，多方安全计算基于密码学理论，可以实现在无可信第三方情况下安全地进行多方协同计算；可信硬件计算则依据对于安全硬件的信赖，构建一个硬件安全区域，使数据仅在该安全区域内进行计算。

在认可密码学或硬件供应商的信任机制的情况下，两类隐私计算技术均能够在数据本身不外泄的前提下实现多组织间数据的联合计算。此外，还有联邦学习、共享学习等通过多种技术手段平衡了安全性和计算性能的隐私保护技术，也为跨企业机器学习和数据挖掘提哦难过了新的解决思路。

### （4）数据分析应用技术

随着深度学习的迅速发展，传统的针对以独立数据集为对象的分析技术不断成熟。相对地，对于存在关联关系的数据进行相关性分析的需求愈加旺盛。关联分析最早始于上世纪 90 年代，由“购物篮分析”问题，即通过从顾客交易列表中发掘起购物行为模式引申而来。早期机器学习领域中也有关于 Apriori、FP-growth 等经典频繁模式挖掘算法实现对于关联规则的挖掘分析。

传统数据分析方法难以应对图结构数据中关联关系的分析需求。以深交网络、用户行为、网页链接关系等数据，其关联关系通常表现为“图”的形态。这类依赖于图结构的数据挖掘分析难以通过分类、聚类、回归和频繁模式挖掘等传统数据分析方法实现。针对图结构数据的图分析技术成为数据分析技术的新方向。图分析是专门针对图结构数据进行关联关系挖掘分析的一类分析技术，可以对图结构中蕴含的未知关系进行探索和发掘，充分获取其中蕴含的图结构关联关系。

### 2.3 智能代理与数字孪生

“数字孪生”（Digital Twins）的概念模型最早出现于 2003 年，由美国密歇根大学 Grieves 教授在提出，起初称作“镜像空间模型”，后在演化为“信息镜像模型”、“数字孪生”[17]。2010 年，美国国家航空航天局（NASA）在太空技术路线图中首次引入数字孪生概念，采用数字孪生实现飞行系统的全面诊断和预测。之后，NASA 与美空军联合提出面向未来飞行器的数字孪生范例，将数字孪生定义为一个集成了多物理场、多尺度、概率性的仿真过程。通用电气公司利用数字孪生进行资产的全生命周期管理[17]。随着工业领域复杂装备运行环境的动态变化加剧，装备监测数据量倍增，并呈现高速、多源异构、易变等典型工业大数据特点。传统的 PHM 技术难以满足复杂装备在动态多变运行环境下实时状态评估与预测的精度及适应性需求。数字孪生技术为解决上述问题提供了新的思路。西门子公司通过数字孪生帮助制造企业在信息空间构建整合制造流程实现物理空间从产品设计到制造执行的全过程数字化[18]。

随着传感器技术带来多领域多尺度融合模型、大数据和人工智能技术带来数据驱动与物理模型融合和全生命周期数据管理、互联网和物联网带来数据采集和传输、云计算带来高性能计算，各种信息技术不断发展和融合，数字孪生概念进一步泛指通过信息化技术在信息空间中模拟现实世界中的物理实体、流程或者系统。借助数字孪生，人类可以在信息空间中了解物理实体的状态，并对物理实体里面预定义的接口元件进行控制。数字孪生可以基于物理集成的反馈数据，通过人工智能技术对物理实体的变化而自动做出相应的变化。理想状态下，数字孪生可以根据多重的反馈源数据进行自我学习，几乎实时地在数字世界里呈现物理实体的真实状况。数字孪生的自我学习（即机器学习在信息空间中的延伸）能够根据海量的信息反馈，进行迅速的深度挖掘和精确模拟。数字孪生是人类利用已有的认知和知识结构，高性能计算去推理解现实世界的问题。未来，随着信息空间不断丰富和完善，人类探索发现新知识的认知活动可能“以物理世界为重心”向“以数字信息空间为中心”的迁移，进入所谓“数字原生”世代。

### 2.4 扩展现实技术

扩展现实技术起源于 Milgram 和 Kishino 的“现实-虚拟连续体”概念，最新的扩展现实技术不断倾向于与物理现实深度融合的方向发展，即混合现实和未来全息图。扩展现实的不同细分技术允许人类用户通过物理世界和数字世界中的各种交替现实体验元宇宙。在本小节，我们将讨论四种得到了学术界和工业界的广泛关注的主要扩展技术，即从得到普遍认可的虚拟现实（VR）开始，逐步讨论增强现实（AR）

及其高级变体混合现实和全息技术的等新兴领域,以及扩展现实技术如何将虚拟的实体与物理环境连接起来。

### (1) 虚拟现实

虚拟现实的突出技术特点全合成视图。商用虚拟现实头盔提供用户交互技术的常用方式,包括头部跟踪或有形控制器。因此,用户位于完全虚拟的环境中,并通过用户交互技术与虚拟对象交互。此外,虚拟现实技术被称为虚拟连续体中距离现实最远的一端。也就是说,使用虚拟现实头盔的用户必须完全关注虚拟环境,并与物理现实世界分离。在元宇宙中,用户将在数字孪生中创建内容。目前的商业虚拟现实技术使得用户能够在虚拟环境中创作内容(例如 VR 绘画)。同时,启发性探索可以通过用户在虚拟环境中与虚拟实体交互来实现,例如,修改虚拟对象的形状,以及创建新的艺术对象。在这种虚拟环境中,多个用户可以实时协作,这种虚拟化的协同环境的主要特点包括:共享空间感、共享存在感、共享时间感(实时交互)、通信方式(通过手势、文本、语音等)以及共享信息和操纵对象的方式[61]。在这种高度虚拟化的空间中的关键技术挑战是用户如何控制虚拟对象以及虚拟共享空间中多用户如何协作。虚拟世界中的多个用户即构成一个元宇宙的子集,在其中,每个用户应该接收到与其他用户相同的信息,不同用户应该能以一致和实时的方式进行交互。在元宇宙的最终阶段,位于虚拟共享空间中的用户应与物理对象的任何添加或交互同时工作。因此,构建元宇宙的核心是通过将所有物理对象、物理对象的数字化身、对象之间的交互融为一体,从而构成巨大规模的虚拟共享空间。所有虚拟环境中的活动应能同步,并反映虚拟空间的运动状态变化[62]。然而,考虑到元宇宙中无限的并发用户共同作用在虚拟对象上并且彼此交互,尤其是可能的延迟会对用户体验产生负面影响,这种超大规模上管理和同步运动状态是一个极为巨大的挑战。

## 3 信息空间的结构模型

基于普遍认识,我们所处的世界由主观世界和客观世界构成。其中,主观世界是指人的意识、观念世界,是人们认识和把握整个世界的精神活动以及心理活动的总和;客观世界是指物质的,可以感知的世界,是人的意识活动以外的一切物质及其运动的总和。

控制论的创始人 Wiener 在历史上第一个将信息提高到一种研究对象看待。指出了“信息就是信息,不是物质也不是能量”的著名论断。后人把这个观点简称为世界的物质、能量和信息三元论。笔者认为,这里的“世界”实际上是指客观世界,即物质、能量和信息是客观世界的三大构成要素。其中,物质是指不依赖于人的主观意识而存在的客观实在,能量是物质运动的能力,信息是以物质或能量是运动能力的存在,信息是事物联系的存在。物理上的各类信息系统能够且只能够获取、传输、处理并应用各种客观存在的信息。因此,“三元论”认识满足信息系统运作对象的客观性要求。这些观点完全基于信息的客观实在性,我们称之为客观信息论。

由此可得信息的本体论定义:信息是客观世界和主观世界中事物及其运动状态的客观反映。这里的“客观反映”,进一步展开就是“在客观世界中的反映”。因而,无论客观世界或主观世界中的事物及其运



许建峰等针对客观世界中无处不在的信息提出了客观信息论和信息空间的数学定义[1]，其后稍作改进[2]，还结合空中交通管制系统进行了实例分析[3]，说明有关信息的定义、数学表达、基本性质和度量体系对于信息系统的设计、分析和评估都具有重要作用。本文所讨论的信息空间主要涉及信息的采集、传输、处理、汇聚和作用等重要环节，自然需要运用信息的定义、模型、性质和度量，支持开展整个体系及各组成部分的功能性能和作用机制研究。鉴于作者根据近期研究和体系工程实践，需要对若干内容进行重要修正和补充，形成更新的信息基础理论体系。

#### 4.1 信息的模型

定义 $O$ 表示客观世界集合， $S$ 表示主观世界集合， $T$ 为时间集合， $O$ 、 $S$ 和 $T$ 中的元素可以根据论域的特定要求进行合适的划分，由此可得信息的数学定义：

**定义 1** 设本体 $o \in 2^{O \cup S}$ 、状态发生时间 $T_h \in 2^T$ 、 $o$ 在 $T_h$ 上的状态集合 $f(o, T_h)$ 、载体 $c \in 2^O$ 、反映时间 $T_m \in 2^T$ 和 $c$ 在 $T_m$ 上的反映集合 $g(c, T_m)$ 均为非空集，信息 $I$ 便是 $f(o, T_h)$ 到 $g(c, T_m)$ 的满映射，即：

$$I: f(o, T_h) \rightarrow g(c, T_m), \quad (3.1)$$

或

$$I(f(o, T_h)) = g(c, T_m). \quad (3.2)$$

所有信息 $I$ 的集合称为信息空间，记为 $\mathfrak{I}$ ，是客观世界的三大构成要素之一。

需要强调的是，为最大范围地容纳可能情形，[2]中说明信息定义中的映射“并不仅限于单值映射，也可以是多值映射”。作者经过多年研究分析，都未发现必须用多值映射才能解释的实例。虽然复变函数中也有多值映射的数学表达和理论成果，然而多值映射毕竟很难理解，并且易于导致实践应用的混乱，所以目前的定义还是将信息限制为单值映射，这个修正会为后续诸多研究带来明显便利，同时并不影响绝大多数，甚至可能是所有的应用情形。

**定义 2** 称 $\langle o, T_h, f, c, T_m, g \rangle$ 为信息 $I$ 的六元组模型，也记为 $I = \langle o, T_h, f, c, T_m, g \rangle$ 。

#### 4.2 信息的基本性质

根据六元组模型可以进一步讨论信息的几种特别重要的基本性质。

##### (1) 客观性

按照定义 1，信息 $I = \langle o, T_h, f, c, T_m, g \rangle$ 是 $f(o, T_h)$ 到 $g(c, T_m)$ 的满映射，因此信息 $I$ 只有通过 $g(c, T_m)$ 才能得以体现。而 $g(c, T_m)$ 是客观世界中的载体 $c$ 在时间 $T_m$ 上的状态集合，所以信息 $I$ 只有通过客观世界才能得以体现。因此我们说信息 $I$ 必然属于客观世界，这就是信息的客观性。由于信息具有客观性，人们才能够通过大量确定的方法采集、传输、处理、汇聚和应用信息。

##### (2) 还原性

信息 $I = \langle o, T_h, f, c, T_m, g \rangle$ 是 $f(o, T_h)$ 到 $g(c, T_m)$ 的满映射，如果这个映射还是单射，也就是说对于任何 $o_\lambda \in o, T_{h\lambda} \in T_h, f_\lambda \in f, o_\mu \in o, T_{h\mu} \in T_h, f_\mu \in f$ ，若

$$f_\lambda(o_\lambda, T_{h\lambda}) \neq f_\mu(o_\mu, T_{h\mu}),$$

必有

$$I(f_\lambda(o_\lambda, T_{h\lambda})) \neq I(f_\mu(o_\mu, T_{h\mu})),$$

此时 $I$ 就是可逆映射, 即存在 $I$ 的逆映射 $I^{-1}$ , 使对任何一组 $c_\lambda \in c, T_{m\lambda} \in T_m, g_\lambda \in g$ , 都存在唯一一组 $o_\lambda \in o, T_{h\lambda} \in T_h, f_\lambda \in f$ , 使

$$I^{-1}(g_\lambda(c_\lambda, T_{m\lambda})) = f_\lambda(o_\lambda, T_{h\lambda}),$$

由此可得

$$I^{-1}(g(c, T_m)) = f(o, T_h). \quad (3.4)$$

可见, 根据 $g(c, T_m)$ 和 $I^{-1}$ 能够还原到 $o$ 在 $T_h$ 上的状态 $f(o, T_h)$ , 这时我们称信息 $I$ 是可还原的, 也可称 $f(o, T_h)$ 是信息 $I$ 的还原态, 这就是信息的还原性。现实世界中, 绝大多数信息都能够还原, 人们能够通过信息寻找其还原态, 这正是信息最为重要的性质或意义所在。

### (3) 传递性

信息 $I = \langle o, T_h, f, c, T_m, g \rangle$ 是 $f(o, T_h)$ 到 $g(c, T_m)$ 的满映射。当然不排除存在客观世界中的集合 $c'$ 、时间集合 $T'_m$ 以及 $c'$ 在 $T'_m$ 上所有状态的集合 $g'(c', T'_m)$ , 并形成 $g(c, T_m)$ 到 $g'(c', T'_m)$ 的满映射。根据定义这时映射

$$I': g(c, T_m) \rightarrow g'(c', T'_m) \quad (3.5)$$

也是信息, 并且

$$I'(g(c, T_m)) = I'(I(f(o, T_h))), \quad (3.6)$$

实际上是 $f(o, T_h)$ 通过 $g(c, T_m)$ 到 $g'(c', T'_m)$ 的复合映射。

可见, 复合映射 $I'(I(f(o, T_h)))$ 实现了信息由 $o$ 到 $c$ 再到 $c'$ 、由 $T_h$ 到 $T_m$ 再到 $T'_m$ 、由 $f(o, T_h)$ 到 $g(c, T_m)$ 再到 $g'(c', T'_m)$ 的传递, 这就是信息的传递性。正是因为信息具有传递性, 人们才能够通过各种媒介实现信息的有效传输。

### (4) 组合性

信息 $I = \langle o, T_h, f, c, T_m, g \rangle$ 中 $o, T_h, f, c, T_m, g$ 是作用不同的各种集合, 自然可以分解或组合为若干新的集合, 所以信息具有组合性。即:

**定义 3** (子信息) 对信息 $I' = \langle o', T'_h, f', c', T'_m, g' \rangle$ 和 $I = \langle o, T_h, f, c, T_m, g \rangle$ , 若

$$o' \subseteq o, T'_h \subseteq T_h, f' \subseteq f, c' \subseteq c, T'_m \subseteq T_m, g' \subseteq g, \quad (3.7)$$

并且

$$I'(f'(o', T'_h)) = I(f'(o', T'_h)), \quad (3.8)$$

则称 $I'$ 为 $I$ 的子信息, 记为:

$$I' \subseteq I. \quad (3.9)$$

称作 $I'$ 包含于 $I$ 。同时在

$$o' \subset o, T'_h \subset T_h, f' \subset f, c' \subset c, T'_m \subset T_m, g' \subset g \quad (3.10)$$

中至少有一式成立时, 称 $I'$ 为 $I$ 的真子信息, 记为 $I' \subset I$ , 称作 $I'$ 真包含于 $I$ 。

**定义 4** (组合信息) 对信息 $I = \langle o, T_h, f, c, T_m, g \rangle$ 及其两个真子信息 $I' = \langle o', T'_h, f', c', T'_m, g' \rangle$ 和 $I'' =$

$\langle o'', T_h'', f'', c'', T_m'', g'' \rangle$ , 若

$$o = o' \cup o'', T_h = T_h' \cup T_h'', f = f' \cup f'', c = c' \cup c'', T_m = T_m' \cup T_m'', g = g' \cup g'', \quad (3.11)$$

且对任何  $o_\lambda \in o, T_{h\lambda} \in T_h, f_\lambda \in f, c_\lambda \in c, T_{m\lambda} \in T_m$ , 有

$$I(f(o_\lambda, T_{h\lambda})) = I'(f'(o_\lambda, T_{h\lambda})) \text{ 或 } I''(f''(o_\lambda, T_{h\lambda})), \quad (3.12)$$

则称  $I$  是  $I'$  和  $I''$  的组合, 记为

$$I = I' \cup I''. \quad (3.13)$$

信息的组合性决定了信息即可以灵活拆分, 又能够任意组合, 这就为人们根据实际需要确定信息处理的对象创造了充分条件。

### (5) 关联性

信息的关联性至少表现在三个方面。

首先, 对信息  $I = \langle o, T_h, f, c, T_m, g \rangle$ ,  $o$  与  $c$ 、 $T_h$  与  $T_m$ 、 $f(o, T_h)$  与  $g(c, T_m)$  都成对出现, 特别是  $f(o, T_h)$  与  $g(c, T_m)$ ,  $I$  作为  $f(o, T_h)$  到  $g(c, T_m)$  的满映射, 建立了  $o$  和  $c$  这样一对事物所处状态之间的特定联系。并且由于传递性, 信息还能将更多的事物联系在一起, 这便是信息关联性的一个重要体现, 据此人们常言信息是万物联系的桥梁。

其次, 因为信息可以分解为若干子信息, 所以不同信息之间可能存在包含与被包含的关系, 或者共同包含于另一信息的关系。由此可见信息之间能够建立起各种相互关系, 这将是信息关联性的另一种体现形式, 据此人们可以分析和利用信息之间的各种关系。

进而, 分析信息的内部结构, 还能发现信息关联性的最重要体现在于其能够反映其还原态内部的各种关系。

**命题 1** 若信息  $I = \langle o, T_h, f, c, T_m, g \rangle$  具有还原态, 则对于状态集合  $f(o, T_h)$  上的任何等价关系  $R$ , 一定存在反映集合  $g(c, T_m)$  上的等价关系  $S$ , 使得对任何  $o_\lambda \in o, T_{h\lambda} \in T_h, f_\lambda \in f, o_\mu \in o, T_{h\mu} \in T_h, f_\mu \in f$ , 若

$$f_\lambda(o_\lambda, T_{h\lambda}) R f_\mu(o_\mu, T_{h\mu}),$$

必有

$$I(f_\lambda(o_\lambda, T_{h\lambda})) S I(f_\mu(o_\mu, T_{h\mu})).$$

证明: 对于任何两组  $c_\lambda \in c, T_{m\lambda} \in T_m, g_\lambda \in g, c_\mu \in c, T_{m\mu} \in T_m, g_\mu \in g$ , 由于  $I = \langle o, T_h, f, c, T_m, g \rangle$  具有还原态, 当  $g_\lambda(c_\lambda, T_{m\lambda}) \neq g_\mu(c_\mu, T_{m\mu})$  时, 必定存在  $o_\lambda \in o, T_{h\lambda} \in T_h, f_\lambda \in f, o_\mu \in o, T_{h\mu} \in T_h, f_\mu \in f$ , 使得  $I(f_\lambda(o_\lambda, T_{h\lambda})) = g_\lambda(c_\lambda, T_{m\lambda})$ ,  $I(f_\mu(o_\mu, T_{h\mu})) = g_\mu(c_\mu, T_{m\mu})$ , 且  $f_\lambda(o_\lambda, T_{h\lambda}) \neq f_\mu(o_\mu, T_{h\mu})$ 。由此, 可以根据关系  $R$  定义关系  $S$ , 当且仅当  $f_\lambda(o_\lambda, T_{h\lambda}) R f_\mu(o_\mu, T_{h\mu})$  时,  $g_\lambda(c_\lambda, T_{m\lambda}) S g_\mu(c_\mu, T_{m\mu})$ 。

因为  $R$  为等价关系, 具有自反性, 即  $f_\lambda(o_\lambda, T_{h\lambda}) R f_\lambda(o_\lambda, T_{h\lambda})$ , 而  $I(f_\lambda(o_\lambda, T_{h\lambda})) = g_\lambda(c_\lambda, T_{m\lambda})$ , 根据  $S$  的定义, 即有  $g_\lambda(c_\lambda, T_{m\lambda}) S g_\lambda(c_\lambda, T_{m\lambda})$ , 表明  $S$  也具有自反性。

同样  $R$  具有对称性, 即由  $f_\lambda(o_\lambda, T_{h\lambda}) R f_\mu(o_\mu, T_{h\mu})$  能够导出  $f_\mu(o_\mu, T_{h\mu}) R f_\lambda(o_\lambda, T_{h\lambda})$ 。而  $I(f_\lambda(o_\lambda, T_{h\lambda})) = g_\lambda(c_\lambda, T_{m\lambda})$ ,  $I(f_\mu(o_\mu, T_{h\mu})) = g_\mu(c_\mu, T_{m\mu})$ , 根据  $S$  的定义, 当  $g_\lambda(c_\lambda, T_{m\lambda}) S g_\mu(c_\mu, T_{m\mu})$  时, 必有  $f_\lambda(o_\lambda, T_{h\lambda}) R f_\mu(o_\mu, T_{h\mu})$ , 从而  $f_\mu(o_\mu, T_{h\mu}) R f_\lambda(o_\lambda, T_{h\lambda})$ , 进而得到  $g_\mu(c_\mu, T_{m\mu}) S g_\lambda(c_\lambda, T_{m\lambda})$ 。表明  $S$  也具有自反性。

另外  $R$  还具有传递性, 即还存在另一组  $o_\delta \in o, T_{h\delta} \in T_h, f_\delta \in f$ , 使得 “ $f_\lambda(o_\lambda, T_{h\lambda}) R f_\mu(o_\mu, T_{h\mu})$  且  $f_\mu(o_\mu, T_{h\mu}) R f_\delta(o_\delta, T_{h\delta})$ ” 蕴含 “ $f_\lambda(o_\lambda, T_{h\lambda}) R f_\delta(o_\delta, T_{h\delta})$ ”。此时, 设  $c_\delta \in c, T_{m\delta} \in T_m, g_\delta \in g$ , 且  $I(f_\delta(o_\delta, T_{h\delta})) = g_\delta(c_\delta, T_{m\delta})$ , 当  $g_\lambda(c_\lambda, T_{m\lambda}) S g_\mu(c_\mu, T_{m\mu})$  且  $g_\mu(c_\mu, T_{m\mu}) S g_\delta(c_\delta, T_{m\delta})$  时, 根据  $S$  的定义, 必有  $f_\lambda(o_\lambda, T_{h\lambda}) R f_\mu(o_\mu, T_{h\mu})$  且  $f_\mu(o_\mu, T_{h\mu}) R f_\delta(o_\delta, T_{h\delta})$ , 从而  $f_\lambda(o_\lambda, T_{h\lambda}) R f_\delta(o_\delta, T_{h\delta})$ , 由此依然根据  $S$  的定义可得  $g_\lambda(c_\lambda, T_{m\lambda}) S g_\delta(c_\delta, T_{m\delta})$ 。表明  $S$  也具有传递性。

因为  $S$  同时具有自反性、对称性和传递性, 所以  $S$  也为等价关系。证毕。

可见, 可还原的信息能够完全保留其还原态的内部关联结构, 这就为人们对信息内部结构的处理、分析和利用提供了重要前提。

### 4.3 信息的度量体系

[1][2]建立信息的度量体系, 首先遵循了以下原则:

- (1) 溯源性原则——从信息的定义模型出发, 形成各种度量的具体定义和数学表达;
- (2) 完整性原则——从信息的实际内涵出发, 形成涵盖与其价值密切相关的完整度量体系;
- (3) 普适性原则——从信息的广泛类型出发, 形成普遍适用于信息获取、信息传输、信息处理、信息应用及其组合所成的各类信息系统, 而不仅限于某一特定领域的度量定义;
- (4) 实用性原则——从信息的应用要求出发, 形成具有实用性和可操作性、能够指导信息系统分析研究的度量体系。

在此基础上, 根据理论研究和实践经验, 还需要增加第五项原则, 即

- (5) 开放性原则——从信息的复杂特性出发, 人们很难完全认清信息的度量体系, 需要根据理论研究和工程应用需求, 合理补充、修正、完善信息的度量体系。

[1][2]基于信息的六元组模型和基本性质, 提出了九类信息度量的具体定义, 并根据集合的测度、势和距离等性质得到了相关的基本命题。本文在此基础上, 强调所有度量都针对可还原信息, 由此根据最新研究成果修正了部分度量的名称和定义。同时, 又增加了信息的采样率和聚合度指标, 前者用以表征信息状态在时域中的密集程度, 后者用以衡量信息内部各组成部分之间关系的密切程度, 都是信息系统设计和实现中具有重要导向意义的度量指标。整体上调整顺序将容量、延迟等人们最易理解的信息度量排列在先, 以便于读者更能由浅入深地理解整个信息度量体系的内涵和意义。

**定义 5**(信息的容量) 设  $O$  表示客观世界集合,  $(O, 2^O, \sigma)$  是一个测度空间,  $\sigma$  为集合  $O$  上的某种测度, 可还原信息  $I = \langle o, T_h, f, c, T_m, g \rangle$  关于测度  $\sigma$  的容量  $\text{volume}_\sigma(I)$  就是  $c$  的测度  $\sigma(c)$ , 即

$$\text{volume}_\sigma(I) = \sigma(c). \quad (4.17)$$

对于同一个对象集合, 数学上可以根据关注点的不同而定义多种不同的测度。所以, 这里定义信息的容量并不唯一, 而是可以依据不同的需要作出不同的定义。同样的理由, 下述各项度量定义也都可以随关注点的变化而改变。

在信息系统中, 信息的容量通常以比特为单位, 是人们最易理解的信息度量。

**定义 6**(原子信息) 对可还原信息  $I = \langle o, T_h, f, c, T_m, g \rangle$  和  $I' = \langle o', T'_h, f', c', T'_m, g' \rangle$ , 若  $I'$  是  $I$  的真子信息, 且不存在任何  $I$  的其它真子信息  $I'' = \langle o'', T''_h, f'', c'', T''_m, g'' \rangle$ , 使得

$$I'' \subset I', \quad (4.5)$$

则称 $I'$ 为 $I$ 的原子信息。

**定义 7** (信息的延迟) 可还原信息 $I = \langle o, T_h, f, c, T_m, g \rangle$ 中所有原子信息的集合记为 $A = \{I_\lambda = \langle o_\lambda, T_{h\lambda}, f_\lambda, c_\lambda, T_{m\lambda}, g_\lambda \rangle\}_{\lambda \in \Lambda}$ ,  $\Lambda$ 是指标集, 若 $\Lambda$ 还是可测集, 设 $\mu$ 是指标集 $\Lambda$ 的测度, 不失一般性还可设 $\mu(\Lambda) \neq 0$ , 则信息 $I$ 的延迟 $delay(I)$ 就是 $A$ 中所有原子信息的反映时间上确界与发生时间上确界之差的积分对指标集 $\Lambda$ 的测度之比, 即:

$$delay(I) = \frac{\int_{\Lambda} (supT_{m\lambda} - supT_{h\lambda}) d\mu}{\mu(\Lambda)}$$

其中,  $supT_{m\lambda}$ 和 $supT_{h\lambda}$ 分别表示集合 $A$ 中 $T_{m\lambda}$ 和 $T_{h\lambda}$ 的上确界。由于信息系统中处理的信息一般都为有限集合, 因此 $\mu$ 通常取计数测度最为适宜。若存在某个 $T_{h\lambda}$ 的上确界为 $+\infty$ , 则

$$supT_{m\lambda} - supT_{h\lambda} = 0. \quad (4.25)$$

延迟也是人们容易理解的信息度量, 因为它直观刻画了信息载体对本体状态反映的快慢程度。需要强调的是, 延迟的定义允许其具有正负性。特别地, 当

$$supT_{m\lambda} < supT_{h\lambda}, \quad delay(I) < 0. \quad (4.26)$$

这表示载体在本体状态发生时间 $T_h$ 之前, 对未来相关状态的预测。比如信息系统中预测相关物体的运动、相关事件的发生等。

这里修正了[2]提出的延迟定义。相对于[2]中 $delay(I) = \max_{\lambda \in \Lambda} \{\inf T_{m\lambda} - sup T_{h\lambda}\}$ 的定义, 目前 $supT_{m\lambda} - supT_{h\lambda}$ 表示的是原子信息中状态发生时间结束至反应时间结束的延迟, 相较于原来 $\inf T_{m\lambda} - supT_{h\lambda}$ 表示的是原子信息状态发生时间开始至反映时间结束的延迟, 前者较后者不考虑状态发生时间本身的因素, 更能体现信息的客观特性。另外, 用 $A$ 中所有原子信息的延迟之积分对指标集 $\Lambda$ 的测度之比定义延迟, 更具有平均和普适意义。

**定义 8** (信息的广度) 设 $O$ 和 $S$ 分别是客观世界和主观世界集合,  $(O \cup S, 2^{O \cup S}, \sigma)$ 是一个测度空间,  $\sigma$ 为集合 $O \cup S$ 上的某种测度, 可还原信息 $I = \langle o, T_h, f, c, T_m, g \rangle$ 关于测度 $\sigma$ 的广度 $scope_\mu(I)$ 就是 $o$ 的测度 $\sigma(o)$ , 即

$$scope_\mu(I) = \sigma(o). \quad (4.1)$$

**定义 9** (信息的粒度) 设 $O$ 和 $S$ 分别是客观世界和主观世界集合,  $(O \cup S, 2^{O \cup S}, \sigma)$ 是一个测度空间,  $\sigma$ 为集合 $O \cup S$ 上的某种测度, 信息 $I = \langle o, T_h, f, c, T_m, g \rangle$ 中所有原子信息的集合记为 $A = \{I_\lambda = \langle o_\lambda, T_{h\lambda}, f_\lambda, c_\lambda, T_{m\lambda}, g_\lambda \rangle\}_{\lambda \in \Lambda}$ ,  $\Lambda$ 是指标集。设 $\mu$ 是指标集 $\Lambda$ 的测度且 $\mu(\Lambda) \neq 0$ , 则可还原信息 $I$ 关于测度 $\sigma$ 的粒度 $granularity_\sigma(I)$ 就是 $A$ 中所有原子信息本体测度的积分对指标集 $\Lambda$ 的测度之比, 即

$$granularity_\sigma(I) = \frac{\int_{\Lambda} \sigma(o_\lambda) d\mu(\lambda)}{\mu(\Lambda)}. \quad (4.6)$$

其中,  $\mu$ 通常取计数测度最为适宜。这里修正了[2]提出的细致度定义, 因为相对于[2]中利用最小值定义细致度的方式, 目前利用平均值定义粒度的准则更具平均和普遍意义。

定义 10 (信息的种类) 对于可还原信息  $I = \langle o, T_h, f, c, T_m, g \rangle$ , 设  $R$  是状态集合  $f(o, T_h)$  上的等价关系,  $f(o, T_h)$  关于  $R$  的等价类集合为  $[f(o, T_h)]_R$ , 则信息  $I$  关于  $R$  的种类  $\text{variety}_R(I)$  就是集合  $[f(o, T_h)]_R$  的基数, 即

$$\text{variety}_R(I) = \overline{[f(o, T_h)]_R},$$

根据命题 1, 可还原信息能够将状态集合内部的等价关系传递到状态反映集合之中, 因此其信息载体完全能够反映信息的种类度量。

定义 11 (信息的时长) 可还原信息  $I = \langle o, T_h, f, c, T_m, g \rangle$  关于测度的时长  $\text{duration}(I)$  就是  $T_h$  的上确界与下确界之差, 即

$$\text{duration}(I) = \sup T_h - \inf T_h. \quad (4.9)$$

定义 12 (信息的采样率) 对于可还原信息  $I = \langle o, T_h, f, c, T_m, g \rangle$ , 不失一般性可设  $\inf T_h < \sup T_h$ , 时间区间  $[\inf T_h, \sup T_h]$  中所有不属于  $T_h$  的集合可记为  $U = \{U_\lambda\}_{\lambda \in \Lambda}$ ,  $\Lambda$  是指标集。则信息  $I$  的采样率  $\text{sample rate}(I)$  就是指标集  $\Lambda$  的基数与  $U$  中所有子集的时间长度积分之比, 即

$$\text{sample rate}(I) = \frac{\bar{\lambda}}{\int_U (\sup U_\lambda - \inf U_\lambda) dt}$$

其中  $t$  为时间长度。特殊情况下, 若对于所有  $\lambda \in \Lambda$  都有  $\inf U_\lambda = \sup U_\lambda$ , 此时  $\int_U (\sup U_\lambda - \inf U_\lambda) dt = 0$ , 则

$$\text{sample rate}(I) = \infty,$$

表示信息  $I$  的状态集合在时间上是完全连续的。

设是关于的种类就是集合的基数, 即, 定义 13 (信息的聚合度) 对于可还原信息  $I = \langle o, T_h, f, c, T_m, g \rangle$ , 设  $RR$  是状态集合  $f(o, T_h)$  上所有元素之间关系的集合, 若集合  $f(o, T_h)$  的基数  $\overline{f(o, T_h)} \neq 0$ , 则  $I$  的聚合度  $\text{clustering}(I)$  就是集合  $RR$  的基数与集合  $f(o, T_h)$  的基数之比。即

$$\text{clustering}(I) = \frac{\overline{RR}}{\overline{f(o, T_h)}}$$

聚合度表征了状态集合  $f(o, T_h)$  内部元素之间关系的密切程度。一般情况下, 状态集合  $f(o, T_h)$  内部元素之间的关系越密切, 也就是聚合度越高, 信息的价值越高。

定义 14 (信息的副本) 对于可还原信息  $I = \langle o, T_h, f, c, T_m, g \rangle$ , 若存在  $I' = \langle o, T_h, f, c', T'_m, g' \rangle$  也是可还原信息, 此时存在逆映射  $I^{-1}$  和  $I'^{-1}$ , 使

$$I^{-1}(g(c, T_m)) = I'^{-1}(g'(c', T'_m)) = f(o, T_h).$$

则称两个信息  $I$  和  $I'$  互为副本。

定义 15 (信息的遍及度) 设  $\{I_\lambda = \langle o_\lambda, T_{h\lambda}, f_\lambda, c_\lambda, T_{m\lambda}, g_\lambda \rangle\}_{\lambda \in \Lambda}$  是包含可还原信息  $I = \langle o, T_h, f, c, T_m, g \rangle$  及其所有副本的集合,  $\Lambda$  是指标集,  $\mu$  是指标集  $\Lambda$  上的测度。又设目标集  $C$  是客观世界的一个子集合,  $(C, 2^C, \sigma)$  是一个测度空间,  $\sigma$  为集合  $C$  上的测度,  $\sigma(C) \neq 0$ , 且对所有  $\lambda \in \Lambda$  都有  $c_\lambda \subset C$ , 则信息  $I$  在  $C$  上关于测度  $\sigma$  的遍及度  $\text{coverage}_\sigma(I)$  就是所有  $c_\lambda$  的测度之积分与  $C$  的测度之比, 即

$$\text{coverage}_\sigma(I) = \frac{\int_\Lambda \sigma(c_\lambda) d\mu}{\sigma(C)}.$$

定义 16 (信息的反射和反射态) 对可还原信息  $I = \langle o, T_h, f, c, T_m, g \rangle$ , 若存在映射  $J$  使得  $J(g(c, T_m)) = \tilde{f}(\tilde{o}, \tilde{T}_h)$ , 其中  $\tilde{o} \in 2^{O_{US}}$ ,  $\tilde{T}_h \in 2^T$ ,  $\tilde{f}(\tilde{o}, \tilde{T}_h)$  为  $\tilde{o}$  在  $\tilde{T}_h$  上的某一状态集合, 则称  $J$  为  $I$  的一个反射,  $\tilde{f}(\tilde{o}, \tilde{T}_h)$  为  $I$  基于  $J$  的反射态。

可见, 当映射  $J = I^{-1}$  时,  $\tilde{f}(\tilde{o}, \tilde{T}_h)$  就是  $I$  的还原态。

定义 17 (信息的失真度) 对可还原信息  $I = \langle o, T_h, f, c, T_m, g \rangle$ , 设其状态集合  $f(o, T_h)$  和基于  $J$  的反射

态 $\tilde{f}(\tilde{o}, \tilde{T}_h)$ 都是距离空间 $(\mathcal{F}, d)$ 中的元素，其中 $d$ 是 $\mathcal{F}$ 上的距离。则称信息 $I$ 的反射 $J$ 在距离空间 $(\mathcal{F}, d)$ 中的失真度 $distortion_J(I)$ 就是 $\tilde{f}(\tilde{o}, \tilde{T}_h)$ 与 $f(o, T_h)$ 的距离，即：

$$distortion_J(I) = d(f, \tilde{f}). \quad (4.42)$$

可见，失真度就是反射态与还原态之间的偏离程度。当且仅当失真度 $distortion_J(I) = 0$ 时，信息 $I$ 的反射态就是其还原态。

**定义 18**（信息的失配度）设目标信息 $I_0 = \langle o_0, T_{h0}, f_0, c_0, T_{m0}, g_0 \rangle$ 为可还原信息，对可还原信息 $I = \langle o, T_h, f, c, T_m, g \rangle$ ，设 $o_0$ 和 $o$ ， $T_{h0}$ 和 $T_h$ ， $f_0$ 和 $f$ ， $c_0$ 和 $c$ ， $T_{m0}$ 和 $T_m$ ， $g_0$ 和 $g$ 分别都是集合 $\mathcal{P}_o, \mathcal{P}_{T_h}, \mathcal{P}_f, \mathcal{P}_c, \mathcal{P}_{T_m}, \mathcal{P}_g$ 中的元素且 $I_0$ 和 $I$ 都是距离空间 $(\langle \mathcal{P}_o, \mathcal{P}_{T_h}, \mathcal{P}_f, \mathcal{P}_c, \mathcal{P}_{T_m}, \mathcal{P}_g \rangle, d)$ 中的元素。则信息 $I$ 对目标信息 $I_0$ 的失配度 $mismatch_{I_0}(I)$ 就是两者在距离空间 $(\langle \mathcal{P}_o, \mathcal{P}_{T_h}, \mathcal{P}_f, \mathcal{P}_c, \mathcal{P}_{T_m}, \mathcal{P}_g \rangle, d)$ 中的距离，即

$$mismatch_{I_0}(I) = d(I, I_{\lambda_0}). \quad (4.44)$$

## 5 信息空间动力学浅析

基于前述的信息模型和信息度量，结合图 2 中所示的信息空间结构模型，可进一步探索信息系统空间中信息流的运动规律。

根据客观信息论的观点，信息与物质、能量并驾齐驱，是构成客观世界的三大要素之一。关于物质和能量的动力学理论早已有之并且根深叶茂，有力推动了工业文明的发展进步。关于信息的很多理论成果如奈奎斯特采样定理【?】、香农信息熵【?】、卡尔曼滤波方法【?】等等，都揭示了信息采集、传输和处理过程遵循的深刻数学规则，可视为某种过程或环节的信息动力学原理，并且都在信息科技发展和应用中发挥了极为显著的作用。但它们的作用范围仅限于局部过程，人们难以从其中完全把握信息动力学的全貌。确切的信息动力学概念最早由 xxxxx 提出【?】，其后也有很多论文和专著加以论述【? ? ?】。但正如【5】所言，这些内容所表述的概念主要还是定性的，缺乏定量的规律性。【5】同时指出，“动力系统的概念是对任何存在固定‘规则’的一种数学化表达形式”，“力学，作为一门研究空间与时间中物体运动和变化的实验科学，离不开计量及其单位”。可见，“数学化表达形式”和“计量”是研究特定对象动力学机制的必要条件。本文对于信息数学表达、基本性质和度量体系的研究为我们能够深刻、定量地进行信息系统的动力学分析奠定了坚实的数学基础。

### 5.1 信息系统的度量功效

任一信息系统都可以简化为接收输入信息，施加各种作用，最后产生输出信息的基本过程。由此可见信息系统的主要意义就在于其施加于输入信息的各种功效，通过输出信息得以表现。如果不能对这些功效进行全面分析、合理解构和定量表达，就难以深刻理解信息系统的运行机理和内在规律，也就无法构建能够引领信息系统建设和发展的信息系统动力学理论体系。所以准确理解信息系统的各种功效，对于深入研究信息系统动力学具有决定意义。本文第 4 部分基于基础数学理论，提出了信息的六元组模型和 11 类度量体系，就为进入信息系统动力学的理论大厦提供了入门之钥。因为任何一种功效都不能离开度量指标进行定量表达，而任何一种度量背后必定存在实际的作用功效，所以运用度量体系全面定量

地描述、分析信息系统的主要功效，是水到渠成之举。由此我们可以通过 11 类度量建立信息系统可能具有的 11 类度量功效，即容量功效、延迟功效、广度功效、粒度功效、种类功效、时长功效、采样率功效、聚合度功效、遍及度功效、失真度功效和适配度功效。

其中，容量功效就是信息系统作用于信息，导致其容量度量发生变化的功能和效果。因为容量度量取决于信息载体的承载能力，所以实际系统中，信息采集、信息传输、信息处理、数据空间和信息作用各个环节都会由于系统的承载能力而影响到信息的容量指标（图 2），比如信息采集、数据空间和信息作用等环节会因为系统的存储能力不足而舍弃一部分信息，降低信息的容量。信息传输环节会由于信道带宽的不足而舍弃部分信息，也会降低信息的容量。香农信息熵实际上就是确保信息能够还原的前提下，通信系统传送离散消息所需的最小信息容量指标【2】。信息处理环节当然也需要足够的存储空间支持，因此也会影响信息的容量。特别地，信息处理环节还能够通过数据压缩处理减少信息的容量需求，从而事实上提高了整个系统的信息容量，反之数据解压处理则会降低整个系统的信息容量，可见不同的数据压缩和解压处理具有不同的容量功效。

延迟功效就是信息系统作用于信息，导致其延迟度量发生变化的功能和效果。因为实际上不存在任何不需要时间的信息流动和处理过程，所以信息采集、信息传输、信息处理、数据空间和信息作用各个环节都必定会影响到信息的延迟指标（图 2）。但是各个环节也都能够通过设备或者算法的改进，使信息的流动和处理达到尽可能低的延迟，从而优化信息系统的延迟功效。特别地，在信息处理环节能够通过时间维度上的外推算法预测本体在未来时段的状态集合，实际上也就能够减少信息的延迟指标，改善信息系统的延迟功效。

广度功效就是信息系统作用于信息，导致其广度度量发生变化的功能和效果。广度表征了信息本体的广阔性范围。所以，信息采集环节会由于采集装置的能量、分布等物理属性影响到获取信息的广度指标。比如在无线电探测领域最为基础的雷达方程就表达了天线口径、发射机功率、接收机灵敏度等物理参数对雷达探测范围，实际上也就是信息采集广度的决定性作用。信息作用环节同样也会由于设备的手段、方式和界面等差异而影响到输出信息的广度功效。需要说明的是，典型的信息处理环节本来并不直接涉及信息的本体，似乎不应影响信息的广度功效。但是通过在空间维度的外推算法，就有可能延展本体的范围，从而提高信息的广度功效。数据空间是现实世界在信息系统中的具体反映，当然也会因为模型完整性、数据库容量等因素而影响信息的广度功效。需要强调的是，信息传输环节的容量指标当然会影响信息的广度功效，但这是容量功效对广度功效的间接效应，不是传输环节对于信息广度的直接影响。除此之外，几乎找不到传输环节对于信息广度的其它直接关系。因此为突出重点问题，我们在信息系统研究中可以认为信息传输环节并不直接具有信息的广度功效（图 2）。

粒度功效就是信息系统作用于信息，导致其粒度度量发生变化的功能和效果。粒度表征了信息本体的细致性特征。所以，信息采集环节同样会由于采集装置的孔径面积、传感器数量等物理属性影响到获取信息的粒度指标。比如视频信息采集装置集成光电传感器的数量决定了视频画面的分辨率或像素，就是信息采集的粒度功效。信息作用环节也会由于输出设备的手段、方式和界面等差异而影响到信息的粒度功效。同样，通过在空间维度的内插算法，就有可能加密本体的范围，从而优化信息的粒度功效。数

据空间当然也会因为模型完整性、精细性和数据库容量等因素而影响信息的粒度功效。类似于对于广度功效的分析，我们在信息系统研究中也可以认为信息传输环节并不直接具有信息的粒度功效（图 2）。

种类功效就是信息系统作用于信息，导致其种类度量发生变化的功能和效果。种类度量表征了信息本体状态集合类型的丰富性特征，分析可知信息系统各个主要环节均会影响信息的种类度量，由此产生系统的种类功效（图 2）。具体而言，信息采集和信息作用环节都会由于输入、输出手段和方式的差异而获得、输出不同的信息类型，比如微波采集和音频采集装置获取不同的输入信息，光学输出和音频输出设备也能产生不同的作用效果，可见信息采集和作用环节都会影响信息的种类功效。随着网络技术的发展，信息传输环节设计开发了针对各种信息类型的通信传输协议，能够在保证传输效率的同时规范和简化系统接口，已经成为互联网、数联网、物联网的普遍实现方式。所以，信息传输环节具有明显的种类功效。对于不同的信息类型自然要求采取不同的信息处理方式，因此信息处理环节显然影响信息的种类功效。数据空间的内部结构、模型设计和存储容量等都会直接影响信息类型的丰富程度，当然具有信息的种类功效。

时长功效就是信息系统作用于信息，导致其时长度量发生变化的功能和效果。时长表征了信息持续的时间跨度。显然，信息采集的持续时间直接决定信息的时长度量，信息作用的持续时间也会影响输出信息的时长度量。虽然在很多情形下信息传输的持续时间未必影响输出信息的时长度量，但对于广播、电视中经常采用的实况直播等情形，信息传输的持续时间便会直接影响播出信息的时长度量。一般情况下信息处理环节并不直接影响信息的时长度量，但通过外推信息处理，也能拓展信息在时间维度的状态集合，也就影响到信息的时长度量。数据空间的存储容量和结构设计等显然都会直接影响信息的时长度量，所以可以认为信息系统各个环节都具有时长功效（图 2）。

采样率功效就是信息系统作用于信息，导致其采样率度量发生变化的功能和效果。采样率表征了单位时间内信息状态集合的发生密度。所以，信息采集的密度直接决定了信息的采样率指标。奈奎斯特采样定理就表明对于周期性的正弦函数曲线，只要采样率高于其频率的一半，就能通过采样信息还原本来的函数曲线。类似地，信息作用的频度显然也会影响输出信息的密集程度，也就是采样率指标。在信息传输环节，如果通信系统的带宽指标高于输入信息的采样率，就不会影响输出信息的采样率，否则必然会降低输出信息的采样率。一般情况下信息处理环节也不直接影响信息的采样率度量，但通过内插信息处理，也能加密信息在时间维度的状态集合，如此也就影响到信息的采样率度量。同样，数据空间的存储容量和结构设计等都会直接影响信息的采样率度量，所以可以认为信息系统各个环节都具有采样率功效（图 2）。

聚合度功效就是信息系统作用于信息，导致其聚合度度量发生变化的功能和效果。聚合度表征了信息状态集合内部元素之间关系的密切程度，所以很多特征并不能从片段或局部信息显性获得。因此，可以认为信息采集和传输环节并不直接影响信息的聚合度指标。通过信息处理环节的计算、关联和融合等处理，能够找寻、建立和拓展信息状态集合的内部关系，提高信息的聚合度指标。数据空间的内部结构和模型设计都会直接决定信息的聚合度指标。基于信息处理和数据空间的信息作用环节就需要考虑信息

的聚合度指标，达成更为全面的作用效果。因此可以认为信息系统中信息处理、数据空间和信息作用三个环节具有聚合度功效（图 2）。

遍及度功效就是信息系统作用于信息，导致其遍及度量发生变化的功能和效果。遍及度反映的是信息及其副本的载体在目标集合中的遍及程度。一般情况下，信息采集环节并不考虑形成副本的问题，因而可以认为其与遍及度指标无关。而信息作用环节最终产生输出信息，其作用范围直接反映了信息的遍及度指标。信息传输环节的通信网络分布是决定信息作用范围的前提条件，因而也将直接影响信息的遍及度指标。信息处理环节虽不直接连接或作用于末端用户，但其选通或分发处理能够决定、控制信息的作用对象，因而也会影响信息的遍及度指标。数据空间中的分布式结构设计和副本分布范围直接关系到信息的遍及度指标，因此可以认为信息系统中信息传输、信息处理、数据空间和信息作用四个环节具有遍及度功效（图 2）。

失真度功效就是信息系统作用于信息，导致其失真度量发生变化的功能和效果。显然，信息采集环节大多是物理或人在回路的过程，往往由于多种原因产生误差，这就增加了信息的失真度。类似地，信息作用环节大多也是物理或人在回路的过程，也会影响信息的失真度。信息传输环节则会由于通信带宽的限制、误码、丢包等原因增加信息的失真度。信息处理环节一方面会由于计算误差增加信息的失真度，同时也可以通过滤波、平滑等算法提高处理精度，从而降低信息的失真度。数据空间中的信息表达和存储方式都会影响到信息的失真度，因此可以认为信息系统中各个环节都具有失真度功效（图 2）。

失配度功效就是信息系统作用于信息，导致其失配度量发生变化的功能和效果。失配度反映了信息偏离特定用户需求的程度。一目了然的是，失真度指标一定是各类用户普遍关注的信息度量。由于信息系统各个环节都具有失真度功效，因而可以简明推断各个环节也都具有适配度功效（图 2），对每一个环节进行详细分析也能更清楚地得到相同的结论。

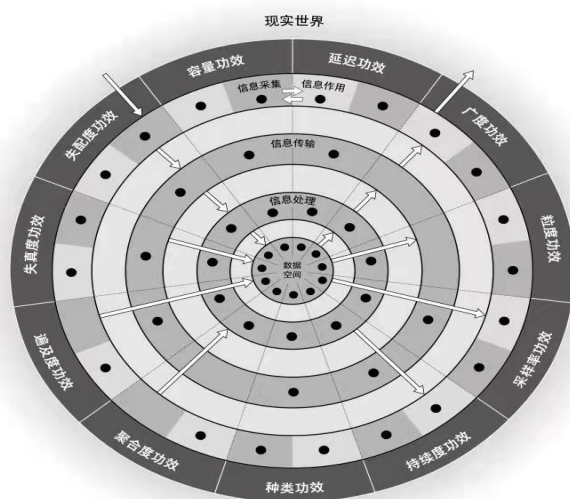


图 2 集中反映了信息系统及其各个环节具有的度量功效分布，★所在位置表明其所在环表示的信息系统环节具有其所在扇区的信息度量功效，信息采集和信息作用处于最外围的相同环中，利用深浅两种

颜色加以区分，深色为信息采集环节，浅色为信息作用环节。由此可以通过度量功效分布解构整个信息系统的功能和性能指标，为系统设计、分析、测试和集成提供充分、定量的依据。

## 5.2 单环信息系统动力构型

图 2 呈现了完整的信息系统框架结构及其度量功效分布。但实际系统建设中并非所有情形都需要包含所有各个环节，特别是系统设计师们常常为了聚焦关键问题，而对很多已经成熟或不需要考虑的技术及产品采用简化的处理方案，由此我们可以根据图 2 分析信息系统的几种典型动力构型，依据所含信息系统的环节，可以简明分为单环、双环、三环和三环一核动力构型。

图 3 呈现了单环信息系统的动力构型，这是最为简单、可能也是最早出现的信息系统构型。

图 3 单环信息系统动力构型

单环信息系统只包含处于同一环中的信息采集和信息作用两个环节。由于结构简单，可能常常被人们忽视，但实际上却是最经典也是最为普遍的信息系统应用方式。典型场景包括手持望远镜观察远处景物或端坐显微镜前注视细胞的结构等等，此时望远镜或显微镜就是一个最为简单的信息系统，采集现实世界中被观察物品的信息，及时将被观察到的信息作用于现实世界中的观察者。如果说单纯的光学望远镜或显微镜与现代信息系统的概念还有一定区别的话，那么数码相机或摄像机就更能体现信息采集直接作用于现实世界的单环信息系统构型。旅行者们手持数码相机、数码摄像机或者几乎人人拥有的手机拍摄周围景观，镜头所对就是现实世界的一个部分，拍摄的照片或影像就是采集到的信息，拍摄者本人根据镜头画面操作设备、欣赏照片或影像就是信息作用的环节。在这个过程中，拍摄设备的物理参数以及拍摄者本人的各种操作都决定或调整着信息采集的容量、延迟、广度、粒度、种类、时长、采样率、失真度和失配度指标，这些相应的指标也直接决定了信息作用的度量功效。需要说明的是，先进的拍摄设备可能已经具有很强的信息处理、存储甚至传输功能，但无疑这些功能在拍摄过程中均处于从属地位，与一般信息系统的信息传输、信息处理和数据空间的概念尚有显著区别，因此我们仍将先进数码设备的拍摄过程纳入单环信息系统构型。由于单环构型中没有经过信息处理或数据空间环节提供信息内部的关系结构，所以这种构型中信息作用不会产生聚合度功效，同时还因为没有经过信息传输环节，信息作用也不会对遍及度功效产生明显影响。科学发展史上一个非常重要的事例就是，诺贝尔奖获得者 XXXX、XXXX 于 1964 年利用无线电探测装置观察到微波背景辐射的过程就属于典型的单环信息系统构型应用，其所获取信息的广度覆盖整个宇宙，延迟几乎与宇宙生命同长【?】。

## 5.3 双环信息系统动力构型

双环构型因为涉及到三个不同的信息系统环节，因而存在多种不同的信息运动模式。图 4 呈现了信息系统的采集-传输-作用双环动力构型。

图 4 信息系统采集-传输-作用双环动力构型

采集-传输-作用双环构型的典型场景有广播或电视的实况直播。此情形下录音或摄像设备采集音频或视频信息，经过广域通信网络传输至千家万户，又通过广播或电视等设备作用于众多听众或观众。与单环构型一样，采集设备的物理特性以及现场人员的各种操作都决定或调整着信息采集的容量、延迟、广度、粒度、种类、时长、采样率、失真度和失配度指标。信息传输环节则会由于信道的物理特征、通信协议以及网络分布影响被传输信息的容量、延迟、种类、时长、采样率、遍及度、失真度和失配度指标。鉴于传输环节与信息的具体内容并无直接关联，可以认为其并不影响实况直播的广度和粒度功效。最后的信息作用环节面对千万听众或观众，显然会基于接收到的信息度量指标，结合音频或视频输出设备的物理特性，对各类听众和观众产生不同的容量、延迟、广度、粒度、种类、时长、采样率、遍及度、失真度和失配度功效。

信息系统也可以对采集信息进行充分处理，获取所需结果直接作用于现实世界，从而形成采集-处理-作用双环动力构型（图 5）。

图 5 信息系统采集-处理-作用双环动力构型

采集-处理-作用双环构型的一个典型场景有超级计算机，通过多种外设采集特定领域的输入信息，进行高速、大容量的密集计算或海量数据处理，产生所需结果信息作用于特定用户。其中，外围采集设备的物理特性以及工作人员的各种操作显然影响超级计算机采集信息的容量、延迟、广度、粒度、种类、时长、采样率、失真度和失配度指标，超级计算机处理过程中同样会利用巨量 CPU 处理单元、高速计算算法、并行处理软件、海量数据处理方法对这些度量指标产生全面影响。此外，处理过程中还能通过复杂计算过程发现、关联信息的内部关系，改变信息的聚合度指标。最后超级计算的结果数据自然取决于外围输出设备的各种能力而影响到作用于用户的信息容量、延迟、广度、粒度、种类、时长、采样率、聚合度、失真度和失配度功效。虽然超级计算机本身可能也有强大的信息传输和存储能力，但因其核心使命就是超级计算，其它能力皆从属于此，所以我们仍可以将其纳入采集-处理-作用的双环构型。

信息系统也可以将采集信息直接输入到数据空间，利用数据空间的强大信息资源直接作用于现实世界，从而形成采集-数据空间-作用双环动力构型（图 6）。

图 6 信息系统采集-数据空间-作用双环动力构型

采集-数据空间-作用双环构型的典型场景有数据中心的构建。随着大数据技术的广泛应用，各类数据中心在行业 and 区域信息化中发挥着越来越重要的作用。其构建过程可以简化为各类信息通过外围设备和接口汇聚到数据空间，这些外设和接口的功能性能显然都会影响信息采集的容量、延迟、广度、粒度、种类、时长、采样率、失真度和失配度指标，数据空间本身的结构设计、模型种类、资源积累和存储容量等也将影响到这些相应指标。同时，因为数据空间的结构模型本身往往已经隐含汇聚信息的内在关系，所以数据空间也将影响所有信息的聚合度指标。因而，采集-数据空间-作用双环构型最后的输出信息具有容量、延迟、广度、粒度、种类、时长、采样率、聚合度、失真度和失配度功效，自然这些指标还会

受数据中心外围输出设备和接口等各种能力的影响。同样，任何数据中心本身都具有必要的信息传输和处理能力，但其核心使命是构建与现实世界交相呼应的数据空间，为简化问题，其它能力被忽略后，可以将其纳入采集-数据空间-作用的双环构型。

#### 5.4 三环信息系统动力构型

三环构型往往涉及四个不同的信息系统环节，也存在三种典型的信息运动模式。图 7 呈现了信息系统的采集-传输-处理-传输-作用三环动力构型。

图 7 信息系统采集-传输-处理-传输-作用三环动力构型

采集-传输-处理-传输-作用三环构型的典型场景有远程自动控制系统。广泛分布的传感器采集到各种信息后，通过通信网络将各种信息汇集到控制中心，经过控制中心的数值计算、状态评估和指令生成处理后，自动将控制信息通过通信网络分发到相应控制节点，实现对广域系统的过程自动控制。需要说明的是，在此构型中，信息采集环节本身影响采集信息除聚合度和遍及度之外的 9 种度量指标，经过信息处理环节能够影响信息的聚合度指标，经过第二个信息传输环节能够影响信息的遍及度指标，所以此三环构型具有完整的 11 种功效。

图 8 呈现了信息系统的采集-传输-数据空间-传输-作用三环动力构型。

图 8 信息系统采集-传输-数据空间-传输-作用三环动力构型

采集-传输-数据空间-传输-作用三环构型的典型场景有互联网网站的广域信息汇聚和服务过程。目前较为简单的互联网网站都能依靠各类信息发布者，利用互联网终端采集信息，通过广域分布的互联网将这些信息汇聚到网站数据库，形成自身的数据空间，进而又通过互联网及其终端，为各类用户提供网页信息服务。在此构型中，信息采集环节本身影响采集信息除聚合度和遍及度之外的 9 种度量指标，由于数据空间的数据内容可以反映信息的聚合度和遍及度指标，并且经过第二个信息传输环节也能影响信息的遍及度指标，所以此三环构型也具有完整的 11 种功效。

图 9 呈现了信息系统的采集-处理-数据空间-处理-作用三环动力构型。

图 9 信息系统采集-处理-数据空间-处理-作用三环动力构型

采集-处理-数据空间-处理-作用三环构型的典型场景有集中式建模仿真系统。以电磁辐射特性建模仿真为例，特定物体被置于微波暗室环境中，对其施加相关的电磁信号，建模仿真系统能够采集到该物体在采样点上的部分电磁辐射信息，通过计算、插值处理可以获得该物体在理想环境中的全向辐射特性，再调用电磁场数据空间中可能存在的电磁场环境模型信息，可以计算获得该物体在此仿真条件下的电磁辐射信息，由此便能够向研究人员提供充分的仿真信息支持。可见这是一个典型的信息采集-处理-数据空间-处理-作用的应用场景。由于不涉及信息传输环节，因而此三环构型仅具有除遍及度之外的其余 10 种功效。

## 5.5 三环一核信息系统动力构型

实际工作中，几乎不存在完全缺少信息采集、信息传输、信息处理、数据空间和信息作用中任何一个环节的信息系统。因此，前文中省略部分环节研究 7 种典型构型，主要着眼于简化问题，聚焦关键。图 10 所示的三环一核信息系统构型也就是最完整、最普遍、最需要充分研究的信息系统动力构型，可以称之为完整构型。

图 10 信息系统三环一核动力构型

由图 10 可见，信息系统的完整构型既包括所有的信息运动环节，也包括各环节之间可能出现的信息流。同时还需要说明的是，工程实践中完整构型的任何一个局部都有可能是需要研究的对象。所以信息系统设计和实现中需要关注的并不仅限于上述 8 种构型。一般而言，只要对象系统保持信息流程的连续性，我们就能够利用各种环节的能效分析整个系统的能效，这才是提出信息系统动力学、并以此指导信息系统规划、设计、研发和集成本意所在。

图 10 中，信息系统的每一个环节都能影响整个系统的度量能效。一般情况下，各个环节的同类能效必然具有相互叠加或相互约束的效能。比如各个环节的延迟能效显然能够相互叠加形成整个系统的延迟能效。前续环节的容量指标显然形成了对后续环节的容量要求，若后续环节不能满足，必然影响整个系统的容量能效。

另一方面，不同能效之间也存在着相互影响的效能。比如容量能效显然影响系统的失真度能效，容量不足的情形下，必然会对状态反映集合的元素有所舍弃，从而导致增加信息的失真度指标。按顺序排列的前 10 种度量能效几乎都会影响到整个系统的失配度指标。因为失配度反映了信息系统输出信息偏离特定用户需求的程度，容量、延迟、广度、粒度、时长、种类、采样率和聚合度等指标显然都与具体用户的需求密切相关，并非性能越高越好。而遍及度指标则需要随着用户的意愿而调整，为控制信息知悉范围，有时需要采取很多措施充分降低信息的遍及度，所以遍及度指标并不与适配度指标单向相关。失真度指标也并不与失配度指标正相关，因为对于加密信息系统中，往往越高的失真度对特定用户而言就是越低的失配度。因此研究信息系统各种构型或场景之中的度量能效作用机理，揭示信息系统的内在运行规律，为信息系统动力学提供了广阔而实用的发展前景。

## 6 小结

世界万物只有通过其客观反映也就是信息，才能表现存在及运动状态。事物之间只有通过信息才能交互动。正因如此，信息得以和物质、能量等价齐观，在客观世界中鼎足三分有其一。对于信息的重要性人们已有充分认识，各方面研究也取得累累硕果。特别是 Shannon 揭示了信息传输的根本要义，为人类迈向信息社会作出了杰出贡献。

描述信息空间运动规律的数学基础是集合论、测度论和拓扑学。虽然较为抽象，但与人们日常广泛运用的统计、计算方法之间具有直接明了的对应关系，因而完全适用于当前备受关注的大数据、流媒

体等信息价值分析、信息系统运行机理和研究以及信息系统设计和评估等信息化进程中普遍需要面对的各项具体工作，其完备性和实用性也将在后续大量应用中得到检验和修正，因为任何一种理论都只有在实践中才能体现其价值并得到完善。

同时，本文提出的一些概念还需要从很多方向结合实际不断深化研究。比如信息依赖于载体的反映集合得以体现，实际应用中如何鉴别载体反映集合的异同，其具体准则和方法等都将是今后深化研究的重要方向。另一方面，信息是客观世界与主观世界相互作用的重要桥梁，因而信息在主观世界对客观世界的认知过程中能够发挥多大作用，这种作用应该如何度量等也应是今后结合物理、生物、心理、哲学等众多学科知识进行深化研究的重大课题。

## 参考文献

- [1] Xu J F, Tang T, Ma X F, Xu B., Shen Y L, Qiao Y J. Objective Information Theory: A Sextuple Model and 9 Kinds of Metrics. Arxiv:1308.3372v1
- [2] 许建峰, 汤俊, 马雪峰, 等. 客观信息的模型和度量研究. 中国科学: 信息科学, 2015, 45: 336 - 353, doi: 10.1360/N112014-00040
- [3] Xu J, Wang S, Liu Z, Wang Y. Objective Information Theory Exemplified in Air Traffic Control System[J]. Chinese Journal of Electron, 2021, 30: 743-751.
- [4] Shannon C E. The mathematical theory of communication. Bell Syst Tech J, 1948, 27(1): 379-423, (3): 623-656.
- [5] Iqbal MH, Soomro TR. Big data analysis: Apache storm perspective. International journal of computer trends and technology. 2015 Jan;19(1):9-14.
- [6] Usha, D., Aps, A.J., 2014. A survey of Big Data processing in perspective of hadoop and mapreduce. International Journal of Current Engineering and Technology.
- [7] White, T., 2012. Hadoop: The Definitive Guide. O'Reilly Media Inc..
- [8] Prasad, B.R., Agarwal, S., 2016. Comparative study of big data computing and storage tools: a review. Int. J. Database Theory App. 9, 45–66.
- [9] Paris, C., F. Gyula, and E. Stephan. "Lightweight asynchronous snapshots for distributed dataflows." Computer Science (2015).
- [10] Alexandrov A, Bergmann R, Ewen S, Freytag JC, Hueske F, Heise A, Kao O, Leich M, Leser U, Markl V, Naumann F. The stratosphere platform for big data analytics. The VLDB Journal. 2014 Dec;23(6):939-64.
- [11] Kumar BS, Kumar JM, Rao PS. Unified big data Lambda Architecture with Hadoop/Flume/Spark SQL Streaming/Scala/Cassandra. international Journal of innovative Research in Computer and Communication Engineering. 2016;4(6).

- [12] Pääkkönen P. Feasibility analysis of AsterixDB and Spark streaming with Cassandra for stream-based processing. *Journal of Big Data*. 2016 Dec;3(1):1-25.
- [13] Lamport, Leslie. "The Part-Time Parliament." *ACM Transactions on Computer Systems*, vol. 16, no. 2, Jan. 1998, pp. 133–169.
- [14] Narayanan, A., Bonneau, J., Felten, E., Miller, A., and Goldfeder, S., *Bitcoin and Cryptocurrency Technologies: A Comprehensive Introduction*, Princeton University Press, 2016
- [15] Nakamoto, S., "Bitcoin: A Peer-to-Peer Electronic Cash System," 2008.
- [16] MAJAH T, RAJIB D, LJUBISA S, et al. Design and testing of a modular sic based power block. *International Exhibition and Conference for Power Electronics, Intelligent Motion, Renewable Energy and Energy Management*, 2016: 1-4.
- [17] TAO F, CHENG J F, QI Q L, et al. Digital twin-driven product design, manufacturing and service with big data. *The International Journal of Advanced Manufacturing Technology*, 2018, 94 ( 9-12 ) : 3563-3576.
- [18] 梅宏, 黄罡, 曹东刚 等. 从软件研究者的视角认识“软件定义”[J]. *中国计算机学会通讯*. 2015, 11(1):68-71.
- [19] Huang G, Luo C, Wu K, Ma Y, Zhang Y, Liu X. Software-defined infrastructure for decentralized data lifecycle governance: Principled design and open challenges. In *2019 IEEE 39th International Conference on Distributed Computing Systems (ICDCS) 2019 Jul 7 (pp. 1674-1683)*. IEEE.

## 附表

表 1：信息空间框架结构表

现实世界	客观物理世界	自然物体
		人造物体
	客观知识世界	符号
		书籍
		图画
		语音
		视频
		数据
	主观世界	意识
		知觉
		认识
		知识
	信息采集	光学采集
音频采集		
动力采集		
温度采集		
电磁采集		
信息作用	语言	
	文字	
	图像	
	影像	
	数据	
	动力	
	虚拟现实	
	增强现实	
	混合现实	
信息传输	通信	
	专用网	
	互联网	
	移动互联网	
	数联网	
	物联网	
信息处理	传统计算	计算
		统计
		修正

		预测
		数据库
		加密
		解密
	超级计算	数据密集型超算
		通信密集型超算
		计算密集型超算
	云计算	计算服务
		存储服务
		资源管理
	大数据	汇聚
		关联
		融合
		分析
	人工智能	识别
		匹配
		学习
		推理
		控制
		表达
区块链	存证验证	
	智能合约	
	可信操作	
数据空间	数字孪生	
	数据信息	
	文本信息	
	音频信息	
	图形信息	
	图像信息	
	视频信息	
	知识图谱	

表 2：信息运动感的度量功效分布表

		信息采集	信息作用	信息传输	信息处理	数据空间
1	容量功效	●	●	●	●	●
2	延迟功效	●	●	●	●	●

3	广度功效	●	●		●	●
4	粒度功效	●	●		●	●
5	种类功效	●	●	●	●	●
6	时长功效	●	●	●	●	●
7	采样率功效	●	●	●	●	●
8	聚合度功效		●		●	●
9	遍及度功效		●	●	●	●
10	失真度功效	●	●	●	●	●
11	失配度功效	●	●	●	●	●

表 3：信息运动的采集-作用单环构型

		信息采集	信息作用
1	容量功效	●	●
2	延迟功效	●	●
3	广度功效	●	●
4	粒度功效	●	●
5	种类功效	●	●
6	时长功效	●	●
7	采样率功效	●	●
8	聚合度功效		
9	遍及度功效		
10	失真度功效	●	●
11	失配度功效	●	●

表 4：信息运动的采集-传输-作用双环构型

		信息采集	信息作用	信息传输
1	容量功效	●	●	●
2	延迟功效	●	●	●
3	广度功效	●	●	
4	粒度功效	●	●	
5	种类功效	●	●	●
6	时长功效	●	●	●
7	采样率功效	●	●	●
8	聚合度功效			
9	遍及度功效		●	●

10	失真度功效	●	●	●
11	失配度功效	●	●	●

表 5：信息运动的采集-处理-作用双环构型

		信息采集	信息作用	信息处理
1	容量功效	●	●	●
2	延迟功效	●	●	●
3	广度功效	●	●	●
4	粒度功效	●	●	●
5	种类功效	●	●	●
6	时长功效	●	●	●
7	采样率功效	●	●	●
8	聚合度功效		●	●
9	遍及度功效			
10	失真度功效	●	●	●
11	失配度功效	●	●	●

表 6：信息运动的采集-数据空间-作用双环构型

		信息采集	信息作用	数据空间
1	容量功效	●	●	●
2	延迟功效	●	●	●
3	广度功效	●	●	●
4	粒度功效	●	●	●
5	种类功效	●	●	●
6	时长功效	●	●	●
7	采样率功效	●	●	●
8	聚合度功效		●	●
9	遍及度功效			
10	失真度功效	●	●	●
11	失配度功效	●	●	●

图表 7：信息运动的采集-传输-处理-传输-作用三环构型

		信息采集	信息作用	信息传输	信息处理
--	--	------	------	------	------

1	容量功效	●	●	●	●
2	延迟功效	●	●	●	●
3	广度功效	●	●		●
4	粒度功效	●	●		●
5	种类功效	●	●	●	●
6	时长功效	●	●	●	●
7	采样率功效	●	●	●	●
8	聚合度功效		●		●
9	遍及度功效		●	●	●
10	失真度功效	●	●	●	●
11	失配度功效	●	●	●	●

表 8：信息运动的采集-传输-数据空间-传输-作用三环构型

		信息采集	信息作用	信息传输	数据空间
1	容量功效	●	●	●	●
2	延迟功效	●	●	●	●
3	广度功效	●	●		●
4	粒度功效	●	●		●
5	种类功效	●	●	●	●
6	时长功效	●	●	●	●
7	采样率功效	●	●	●	●
8	聚合度功效		●		●
9	遍及度功效		●	●	●
10	失真度功效	●	●	●	●
11	失配度功效	●	●	●	●

图表 9：信息运动的采集-处理-数据空间-处理-作用三环构型

		信息采集	信息作用	信息处理	数据空间
1	容量功效	●	●	●	●
2	延迟功效	●	●	●	●
3	广度功效	●	●	●	●
4	粒度功效	●	●	●	●
5	种类功效	●	●	●	●
6	时长功效	●	●	●	●
7	采样率功效	●	●	●	●

8	聚合度功效		●	●	●
9	遍及度功效			●	●
10	失真度功效	●	●	●	●
11	失配度功效	●	●	●	●

表 10：信息运动的三环一核全构型

		信息采集	信息作用	信息传输	信息处理	数据空间
1	容量功效	●	●	●	●	●
2	延迟功效	●	●	●	●	●
3	广度功效	●	●		●	●
4	粒度功效	●	●		●	●
5	种类功效	●	●	●	●	●
6	时长功效	●	●	●	●	●
7	采样率功效	●	●	●	●	●
8	聚合度功效		●		●	●
9	遍及度功效		●	●	●	●
10	失真度功效	●	●	●	●	●
11	失配度功效	●	●	●	●	●